#### Р. В. АМБАРЦУМЯНЦ

### СИНТЕЗ ШЕСТИЗВЕННОГО РЫЧАЖНОГО МЕХАНИЗМА ПЕРИОДИЧЕСКОГО ПОВОРОТА С РЕГУЛИРУЕМОЙ ВЕЛИЧИНОЙ УГЛА ВЫСТОЯ

В современных машинах-автоматах часто требуется получить прерывистое движение ведомого звена при непрерывном вращении нелущего звена. При этом требуется еще, чтобы угол выстоя поддавался регулировке. Для этого обычно используются зубчато-рычажные механизмы.

В настоящей работе рассматринается задача синтеза шестизвенного рычажного механизма одностороннего прерывистого движения ведомого звена с плавным регулированием величины угла выстоя в сравнительно большом диапазоне. Базисным механизмом является равнобедренный кривошинно-ползунный механизм OAB (фиг. 1), к точке шатуна AB и к стойке которого присоединяется трехшарнирная двухнонодковая группа MCF. Синтез механизма производится в следующие четыре этапа:

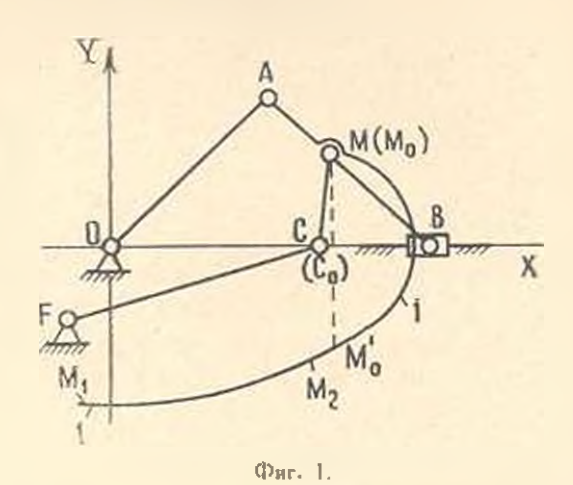
- 1. Определяется положение точки M на шатунной оси AB и длина звена MC:
- 2. Устанапливается область возможных положений центра F вращения ведомого зненя CF, обеспечивающая пронорачиваемость этого звена;
- 3. Устанавливается условие, при котором предотвращается веопределенность в положения днухпоподковой группы *МСF* в период пращения веломого звена;
- 4. Определяется длина недомого звена CF и кривая возможных положений его центра вращения, обеспечивающих заданный диапазон изменения величины угла выстоя.

Отнесем схему механизма (фиг. 1) к прямоугольной системс координат XOY с началом в центре нращения педущего кривошила OA и осью X-X, совпадающей с линией движения ползуна. Примем следующие обозначения: OA-AB=1,

- I расстояние точки M шатуна AB от точки A;
- I длина шатуна MC;
- f длина недомого знена CF;
- $y_F$  координаты точки F;
- 0 угол, образуемый ведомым звеном CF с осью X X в положении выстоя:
  - ф угол выстоя.

## 1. Определение положения точки M на оси шатуна AB и длины звена MC

Определение указанных неличии производим методом, изложенным в работе автора [2]. Вкратце он заключается в следующем. Любая точка осевой линии шатуна AB базисного механизма описывает элливе 1-1 (фиг. 1). Участок последнего, симметричный относительно оси X-X, может быть аппроксимирован дугой окружности с центром  $C_0$  на оси X-X. При этом длина дуги эллипса зависит от требуемого максимального значения угла выстоя\*.



Величиной  $\kappa$  задаемся в пределах  $0 < \kappa$  если направления вращения ведущего и ведомого кривошипов совпадают, и  $\kappa > 1 - \ell_{max}$  если указанные направления вращения противоположны. Значение  $\ell_{max}$  определяем решением уравнения

$$A \lambda_{\min}^2 + B \lambda_{\min} - C = 0 \tag{1}$$

где

$$A = -\left(2 + 3\cos\varphi_{1} + \cos^{4}\frac{1}{2}\varphi_{1}\right). \quad B = 2 + \cos^{4}\frac{1}{2}\varphi_{1} + \cos\varphi_{1}$$

$$C = 2 - \cos\frac{1}{2}\varphi_{1} + \cos\varphi_{1}, \quad \varphi_{1} = \frac{1}{2}\Phi$$

Абсинсса d центра C аппроксимирующей окружности определяется по формуле

$$d = \frac{2\lambda \left(1 + \cos \varphi_1\right)}{1 + \lambda} \tag{2}$$

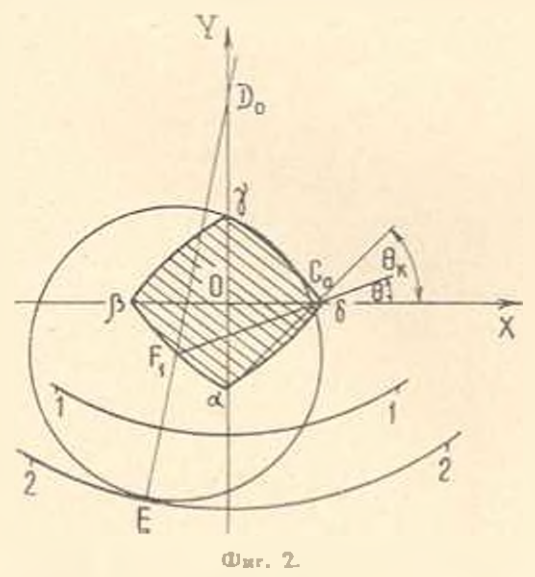
Длина шатуна

Подробнее см. ниже.

$$l = \frac{\sqrt{(1-\iota^2)^2 + 2\iota} \left[ 8\lambda\cos^4\frac{\varphi_1}{2} - (1-\lambda)^2\left(\cos^4\frac{\varphi_1}{2} + \cos\varphi_1\right) \right]}}{1+\lambda}$$
(3)

# 2. Область возможных положений ценгра вращения ведомого звеня, в которон обеспечивается его проворачиваемость

Строим влаипс 2-2, вквидистантный эллипсу 1-1 (фиг. 2), расстояние между которыми по нормали равно длине шатуна MC. Траектория шариирной точки C, проходящая через точку — не должна выйти за пределы вллипса 2-2: в протинном случае пронорачиваемость механияма неновможна. Из фиг. 2 нидно, что этому условию расовлетворяют положения точки F, находящиеся либо по итором, либо в третьем квадрантах. При положениях точки F и перпом или в четвертом квадрантах, хотя граектория точки C может проходить через точку  $C_0$  (т. е. удовлетворяется условие остановки), проворавиваемость механизма непозможна. Ясно, что предельные положения центра вращения ведомого звена соответствуют тем крайным положениям точки (C) соприкаваемость с эллипсом (C) при которых траектория точки (C) соприкаваемость с эллипсом (C) Переходим к определению координат точки (C)



Иввестно, что дуга валинса  $M_1$   $M_2$  (фиг. 1), симметричная относительно оси Y-Y, впироксимируется дугой окружности радиуса  $r_1$  с центром  $D_0$  на оси Y-Y с ординатой  $d_1$ , неличины которых определяются по уравнениям [4]

<sup>•</sup> На фиг. попазана тольно часть упазанных вазинеов.

<sup>••</sup> Под условием проворачникемости им понимаем, и данном случае, условие существопации недущего и недомого вривошинов.

$$d_1 = \frac{b + y_1}{2}k \tag{4}$$

$$r_1 = \sqrt{a^3 + d_1^2 + \frac{k^2}{8}(b^2 + 6by_1 + y_1^2)}$$
 (5)

FAC

$$b = 1 - i$$
,  $\alpha = 1 + i$ ,  $y_1 = (1 - i) \sin y_1$ ,  $k = -\frac{4i}{(1 - i)^2}$ 

Следонательно, участок эквидистантного заминса 2-2, соответствующий дуге  $M_1$   $M_2$  надипса, также можно заменить дугой окружности раднуса  $r_1+l$ , пронеденной из точки  $D_0\left(0,\ d_1\right)$ . Пусть предельное положение центра вращения недомого звена находится и точке  $F_1$  (фиг. 2) и траектория точки C соприкасается с надипсом 2-2 и точке E. Тогда, поскольку нормаль в точке соприкасания кривых проходит через центры кривизны (в нашем случае через точки  $F_1$  и  $D_0$ ), то, как следует из фиг. 2,

$$F_1 D_0 = ED_0 - EF_1 = r_1 + l - f_{np.}$$

 $\Gamma_{AB}$   $f_{np.}$  — предельное значение длины звена CF в положении точки  $F_{np.}$  Отрезок же

$$F_1D_0 = \{ x_{F_1}^* - (y_{F_1} - d_1)^2 \}$$

На основании двух последних уравнений находим

$$x_{F1}^2 + \dots - d_1)^2 = (1 - l - f_{BB})^2$$

Учитыная, что точка  $F_1$  находится на прямой с угловым коэффициентом\*  $k_1$  и одновременно на окружности радиуса  $f_{\rm up}$ , проведенной из точки  $C_0$ , то для нахождения нензвестных величин  $x_{F1}$ ,  $y_{F1}$  и  $f_{\rm up}$ , составим следующую систему уравнений:

$$y_{F1} = k_1 (x_F - d)$$

$$(x_{F1} - d)^2 - y_{F1}^2 = f^2$$

$$(y_F - d_1)^2 + x_F = (r_1 - l - f_{xp})^2$$
(6)

Решая систему (б) относительно f получим

$$A_1 f_{pp}^2 + B_1 f_{pp} + C_2 = 0 (7)$$

где

$$A_{1} = 4 \left[ r_{1} - l - \frac{(d - k_{1} d_{2})^{3}}{(1 - k_{1}^{2})(r_{1} + l)} \right]. \qquad (8)$$

$$C_{1} = (r_{1} + l) \left[ (r_{1} - l) - l - l \right] = \frac{l}{l}$$

Определение неличины е, си дальше.

$$d_1 = \frac{b + y_1}{2} k \tag{4}$$

$$r_1 = 1$$
.  $a^2 - d^2 = \frac{1}{8} (b^2 + 6by_1 + y_1^2)$  (5)

где

$$b = 1 - i$$
,  $a = 1 + i$ ,  $y_1 = (1 - i) \sin y_1$ ,  $k = -\frac{4i}{(1 - i)^2}$ 

Следопательно, участок оквидиставтного вланися 2 2, соотнетствующий дуге  $M_1$   $M_2$  вланиса, также можно звменить дугой окружности рядиуса  $r_1$   $I_1$  пронеденной из точки  $D_0$   $(0, d_1)$ . Пусть предельное положение центра вращения недомого звена находится в точке  $F_1$  (фиг. 2) и траектория точки C соприкасается с вланисом 2-2 и точке E. Тогда, поскольку нормаль в точке соприкасания криных проходит через центры кринизны (в нашем случае через точки  $F_1$  и  $D_0$ ), то, как следует из фиг. 2,

$$F_1 D_0 = ED_0 - EF_1 = r_1 + l - f_{np.}$$

тде  $f_{\rm np}$ , предельное значение длины звена CF и положении точки  $F_{\rm np}$ . Отрезок же

$$F_1D_1 = (y_{F1} - (y_{F1} - d_1)^2)$$

На основании двух последних уравнений находим

$$x_{F1} + (y_{F1} - d_1)^2 = (r_1 - l - f_{np})^2$$

Учитывая, что точка  $F_1$  находится на прямой с угловым ковффициентом\*  $k_1$  и одновременно на окружности радиуса  $f_{\rm np.}$ , проведенной из точки  $C_0$ , то для нахождения неизвестных величик  $x_{F1}$ ,  $y_{F1}$  и  $f_{\rm np.}$  составим следующую систему уравнений:

$$y_{F1} = k_1 (x_{F1} - d)$$

$$(x_{F1} - d)^2 - y_{F1}^2 = f_{p_1}^2$$

$$(a_1 - d_1)^2 - x_{F1}^2 = (r_1 - l - f_{up_1})^2$$
(6)

Решая систему (6) относительно / -, получим

$$A_1 f_{11} + B_1 f_{12} + C_1 = 0 (7)$$

где

$$A_{1} = 4 \left[ r_{1} \quad l \quad \frac{(d-k_{1}d_{1})^{2}}{(1-k_{1}^{2})(r_{1}+l)} \right], \quad B_{1} = 2 \left[ 2d^{2} - (r_{1}+l)^{2} \right]$$

$$C_{1} = (r_{1}+l) \left[ (r_{1}-l)^{2} - 4d^{2} \right] + \frac{4d^{2}}{r_{1}+l}$$
(8)

<sup>&</sup>quot; Определение неличины к, си. дальше.

После определения величины  $f_{m}$ , координаты точки  $F_{1}$  проще определить по следующим формулам (см. фиг. 2)

$$x_{F1} = f_{np.} \cos^{6} - d$$

$$y_{F1} = f_{np.} \sin^{6}$$
(8)

PAC

Рассмотрим теперь вопрос о позможных пределах изменения величины угла  $\theta$ , соотнетственно и коэффициента  $k_1$ . Учитывая, что этот угол может быть как положительным (как показано на фиг. 2), так и отрицательным, его можно парьировать в пределах

$$-\delta_{\lambda} < 0 = \theta_{\lambda} \tag{9}$$

где  $\theta_k$  предельное значение угла  $\theta_k$  при котором точка F находится на оси Y-Y и

$$\theta_k = \pm \arccos \frac{f_1}{d}$$

где  $f_1$  — предельная дляна ведомого звена при  $\theta=\theta_k$  [2]

$$f_1 = \frac{d^2 + (1 - \lambda + l)^2}{2(1 - \lambda + l)}$$

Задаваясь пеличиной 6 в пределах, устанавлинаемых неравенством (9), определяя предельные положения точки  $\ell$ , и плавно соединия их, получим кривую  $\alpha - \beta$  (фиг. 2). Совершенно очевидно, что но втором квадранте существует симметричная ей кривав  $\beta - \gamma$ . Если взять центр впироксимирующей окружности на оси X - X в противоположной стороне от точки O, то такая же картина получается в первом и четвертом квадрантах. Следовательно, площадь, ограниченная кривой арух, — это геометрическое место возможных положений точки F, обеспечивающее существование ведомого кривошила.

## 3. Условис, предотвращающее исопределенность в положении двухповодковой группы в период вращения ведомого явена

Прежде чем перейти к выявлению указанного условия, проследим за последовательностью изменения величины угла FCM (фиг. 1) с начального момента выстоя. Этот угол уменьшается и в периол вращения педомого звена принимает минимальное значение, после чего опять упеличивается. В частности, когла центр вращения ведомого звена на границе заштрихованной области (фиг. 2), появляется неопределенность в положении двухпояодковой группы. Для предотпращения втого задаемся минимально допустимым значением < FCM = 1

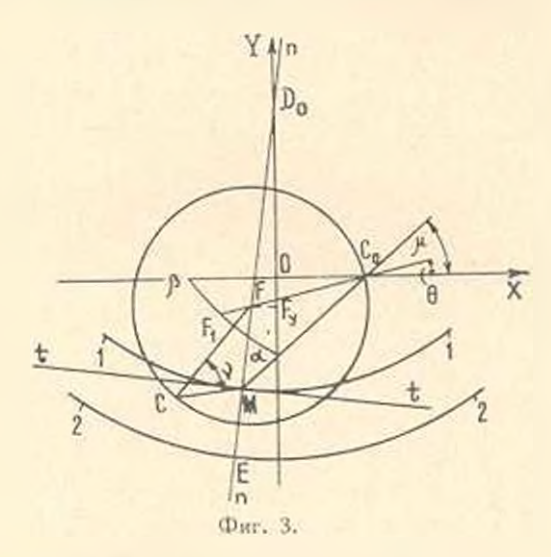
В случав нахождения точни Е во втором изидранте-

<sup>\*\*</sup> Имеется ванду перионачальное положение точки Са-

Рассмотрим вопрос об определении длипы ведомого кривошила и координат его центра вращения при заданном значении у. Если известно значение 6, то центр вращения ведомого кривошина F необходимо взять на прямой

$$y = k_1(x - d) \tag{10}$$

Как уже сказано, если точка F совпадает с точкой  $F_1$ , новникает неопределенность в положении группы MCF. При ятом положение шатунной точки M на валипсе 1-1 найдем на пересечении нормали, посстановленной и точке E соприкасания валипса 2-2 и окружности, описываемой точкой\* C (фиг. 3). Совершенно очевидно, что, если точка F находится внутри заштрихованной области, то пеопределенность в положении группы MCF предотвращается, а угол FCM принимает минимальное значение в том положении шатунной точки M на валипсе 1-1, где восстановленная нормаль проходит через точку F.



Обозначим через  $x_M$  и  $y_{**}$ , координаты точки M в положении механизма, соответствующем минимальному значению угла  $v_{**}$  Допустим, центр вращения ведомого криношина находится в точке F (фиг. 3). Тогда уравнение прямой, проходящей через точку  $F_{**}$  будет

$$y - y_F = k_7(x - x_F) (11)$$

причем неличина углоного конфициента

$$k_3 = -\frac{1}{k_3} \tag{12}$$

где  $k_t$  — угловой коэффициент касательной t-t, проведенной и точке  $M\left(x_{M_t},y_{M_t}\right)$  эллипса 1-1.

На фиг. 3 ова совпадает с неопределенным положением группы.

Так как 
$$k_3 = \left(\frac{dy}{dx}\right)_M$$
 и  $\frac{x^2}{(1+i)^2} + \frac{y^2}{(1-i)^2} = 1$ , то
$$k_3 = -\frac{x_M}{u_M} \left(\frac{1-\lambda}{1+i}\right)^2 \tag{13}$$

 $M_3 = \Delta FCM$ , учитыяви. что  $(MF)^2 = (x_F - x_M)^2 + (y_F - y_M)^2$ , находим (фиг. 3)

$$2fl\cos y = f^2 + l^2 - (x_F - x_M)^2 - (y_F - y_M)^2$$
 (14)

С другой стороны, из  $\Delta FC_0M$ , поскольку

$$(C_0M)^2 = (x_M - d)^2 + y_M^2$$

ныеем

$$(x_F - x_M)^2 + (y_F - y_M)^2 = f^2 + (x_M - d) - y_M^2 - 2f(MC_0)\cos(y - \theta)$$
(15)

где  $\mu$  — угол, образованный прямой  $MC_0$  с осью X-X. Из фиг. 3 следует, что

$$\cos y = \frac{x_M - d}{C_0 M}, \quad \sin y = \frac{y_M}{C_0 M} \tag{16}$$

Согласно соотношениям (15) и (16), получим

$$(x_F - x_M)^2 + (y_F - y_M)^2 = f^2 + (x_M - d)^2 + y_M^2 -$$

$$-2f(x_M - d)\cos\theta - 2fy_M\sin\theta$$
(17)

Учитывая, что координаты точки M удовлетворяют равенству (11), а  $f^4 = (x_F - d)^2 + y_F$ , то для нахождения величин неизвестных  $x_F$ ,  $y_F$ , f,  $y_M$ , и  $x_M$  составим следующую систему уравнений:

$$y_{M} - y_{F} = \frac{y_{M}}{x_{M}} \left(\frac{1+\lambda}{1-\lambda}\right)^{2} (x_{M} - x_{F})$$

$$\frac{x_{M}^{2}}{(1+\lambda)^{2}} + \frac{y_{M}^{2}}{(1-\lambda)^{2}} = 1$$

$$2f l \cos v = f^{2} + l^{2} - (x_{F} - x_{M})^{2} - (y_{F} - y_{M})^{2}$$

$$(x_{F} - d)^{2} + y_{F}^{2} = f^{2}$$
(18)

$$(x_F - x_M)^2 + (y_F - y_M)^3 = f^3 - (x_M - d)^2 + y_M^2 - 2f(x_M - d)\cos\Theta - 2fy_M\sin\Theta$$

Решение системы (18) довольно сложно, повтому задачу целесообразко решать следующим образом. Задаемся координатами точки F так, чтобы она находилась внутри кривой — Для нахождения минимального значения угла у воспользуемся третьим уравнением системы (18). При втом величины координат  $x_{m}$  и  $y_{m}$  находим совместным решепием первого и второго уравнения системы (18). Если точка M находится на участке эллипса 1—1, мало отличающемся от дуги окружности с центром на оси Y-Y, то координаты точки M находим при совместном решении уравнения прямой" (фиг. 3)

$$y_M = k_4 x_M + d_1$$

с уравнением окружности

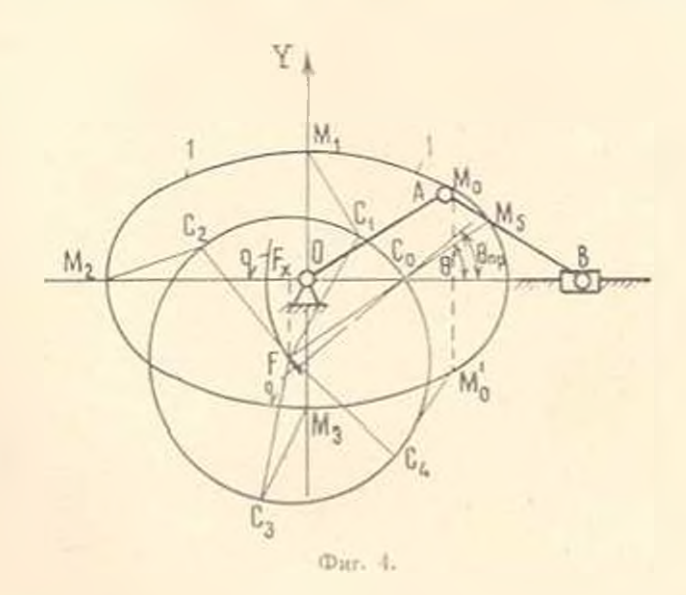
$$x_M + (y_M - d_1)^2 = r_1^2$$

$$\exists_{Aech} \ k_4 = \frac{u_1 - d_1}{x_P}$$

Отметим, что по мере приближения точки F к оси  $Y - Y_1$  т. е. когда  $H \to H_k$ , минимальное значение угла и уменьшается и при  $H \to H_k$  появляется неопределенность в положении группы MCF.

#### Определение длины ведомого кривошина и кривой положений его центра вращения, обеспечавающие заданный лиапазов регулирования величным угла выстоя

Пусть центр вращения ведомого кривошила находится в точке F (фиг. 4) и ведущий кривошил вращается против часовой стрелки



Проследим за движением недомого крипонина, когда точка M двигается вне участв остановки  $M_{\rm c}M_{\rm c}$  задинеа 1—1. Начиная с точки  $M_{\rm c}$  (конен участка приближении) шатун MC "тянет" за собой недо-

<sup>&</sup>quot; Примая проходят через тачки  $D_{\mathrm{d}},~\Gamma$  и  $M_{\mathrm{e}}$ 

мый кривошип (для наглядности на фиг. 4 показано несколько последовательных положений механизма). Когда точка M находится в положении  $M_0$  (начало участка приближения), точка C паходится в  $C_4$ . Следовательно, звено FC не может остапавливаться, так как исходным положением для остановки является положение  $FC_0$ . В дальнейшем точка C сонпадает с  $C_0$ , когда точка M совпадает с  $M_5$  ( $x_1, y_2$ ), находящейся на пересечении прямой  $FC_0$  с эллипсом 1-1. Последнее следует из того, что окружность точки C и окружность раднуса I, проведенная из точки  $M_5$ , наиду их соприкасания в точке  $C_0$ , имеют общую нормаль. Значит выстой ведомого кривошипа происходит только на дуге  $M_5$   $M_0$  эллипса. Положение ведущего кривошипа, соответствующее точке  $M_5$ , определяется следующим образом.

Из прямоугольного треугольника  $C_0\,M_*\,M_*$  имеем

$$\tan \theta = \frac{y_5}{x_5 - d} = \frac{(1 - h)\sin \varphi_2}{(1 + h)\cos \varphi_2 - d} \tag{19}$$

гле — угол, образованный ведущим кривошином с осью X-X в положении, соответствующем точке  $M_{\gamma}$ . Преобразуя выражение (19) и решая его относительно  $\mathfrak{P}_{5}$ , получим

$$(tg_{2s})_{ts} = \frac{(1-\lambda)^{2}tq^{\frac{1}{2}} + dtg^{\frac{1}{2}}V(1+\lambda)^{2}t\overline{q^{\frac{1}{2}}} + (1-\lambda)^{2} - d^{2}t\overline{q^{\frac{1}{2}}}}{(1-\lambda)^{2} - d^{2}t\overline{q^{\frac{1}{2}}}}$$
(2))

Из прямоугольного треугольника  $FF_xC_0$  находим

$$tg\theta = \frac{y_F}{x_F - d}$$

Следовательно, величина угла выстоя

$$\Phi = \{\varphi_1 \pm \varphi_2\} \tag{21}$$

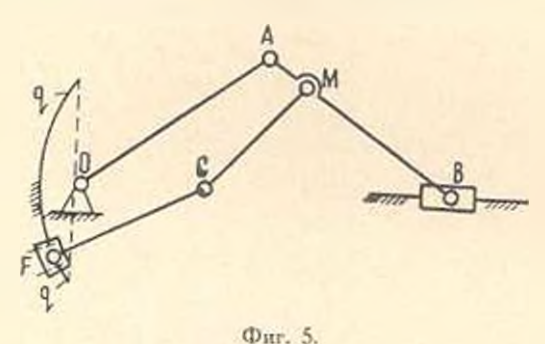
Здесь знак плюс относится к случаю, когда точка F находится во втором квадранте или ведущий кривоший вращается по чисовой стрелке, знак минус — к случаю, показанному на фиг. 4. Если задана ведичина  $\Phi$ , то соответствующим яыбором положения точки F получим требуемый угол выстоя в ранес спроектированном механияме с углом выстоя  $\Phi_1 > \Phi$ . При этом центр F необходимо ваять на прямой (10) внутри заштрихованной области — Величина угла  $\Theta$  определяется из выражения (19), если предварительно определить значение угла — из раненства (21).

Из всего сказанного следует, что, выполния всломое звено изменяемой длины, перемещая его центр вращения во втором, либо в третьем квадрантах, получим плавное изменение величины угла выстоя. Те же результаты можно получить без изменения длины звена FC, а перемещением точки F по дуге окружности q-q радиуса f, проведенной из точки  $C_0$  (фиг. 4).

Итак, если задан диапазон регулировки величины угла ныстоя  $\Phi_2 \leftarrow \Phi \ll \Phi_3$ , то синтез шестизвенника производим в следующей последовательности. Определяем величины  $\ell_1$ ,  $\ell_2$  из условия обеспечения

величины угла выстоя\*  $\Phi_1 > \Phi_3$ . Зная величину  $\phi_1 = \frac{1}{2} \Phi_1$ , из равен-

стна (20) определяем яначение угла  $\mathfrak{S}_2$  для двух предельных значений  $\Phi_2$  и  $\Phi_3$ . Из выражения (19) находим предельные значения угла  $\Theta_{np}$ . Задаваясь минимальным значением угла  $\mathfrak{I}$  между звеньями CM и CF, определяем координаты центра вращения и его длину при предельных значениях  $\Theta_{np}$  (методом, изложенным в третьем втапе этой работы). Так как для двух предельных значений  $\Theta_{np}$  получаются два значения  $P_{np}$  получаются два значения  $P_{np}$  положения точки  $P_{np}$  то из них следует выбирать те, которые в двух предельных положениях центра вращения ведомого кривошипа удовлетворяют условию обеспечения заданного допускаемого значения его угла передачи движения в момент трогания.



Приледем числовой пример. Определить размеры шестизвенного механизма с регулируемой величиной угла выстоя в диапазоне  $20^\circ \leqslant \Phi \leqslant 80^\circ$  при  $v=20^\circ$ .

Принимаем  $\Phi_1 = 100$ . Параметры механизма, найденные по формулам (2), (3), (20), (19), (8), имеют следующие значения:

$$l = 0.2000;$$
  $d = 0.5476;$   $l = 0.6537;$   $\pm 30^{\circ}$   $\Theta_{\text{np.}} = 40^{\circ};$   $x_F = -0.0680;$   $y_F = 0.4652;$   $f = 0.7236$ 

Угол передачи в момент "трогания" ведомого звена, соответствующий двум крайним положениям точки  $F_1$  равен 25°. Механизм показан на фиг. 5. Поскольку равнобедренный кривошипно-полвунный механизм имеет мертные положения, то в качестве исходного механизма можно использовать трехзвенный планетарный механизм [3] и другие, воспроизводящие аллипс.

В заключение отметим, что указанный метод справедлив для всех рычажных механизмов, воспроизводящих выпуклые шатунные кривые.

Одесский технологический институт им. М. В. Ломаносова

Поступила 21 XI 1969

Величино  $\Phi_1 = \Phi_3 = (10-20)$ , что делается для того, чтобы избежеть положения точки F по оси Y. Y, при котором появляется неопределенность в положених группы MCF и период вращения ведомого кривошина.

#### Ռ. Վ. ՀԱՄԲԱԲՋՈՒՄՅԱՆՑ

### ԿԱԿՔՅԱՌ ԳՍԱՑԳՅՈԾՅՍ ԸՈՒՊՈՒԱՔՂԱՒ ԺԱԵՐԺԱ ՊԱՐՔՅԱՄ ԶԵՐԳԺՅԱ ՎԱԶՅՀԱԽՅԱ ՊՈՒԱՐԱԵԼ ԻԱՐՈՑԵՐ ԺԱՐՋԵՐ

### Undinhaid

Հուծված է կանդնման անկյան կարդավորվող մնծությամր պարրերական ջրջման վեցօղակ լծակավոր մեխանիցմի սինթեղման խնդիրը։

Ռացառությամբ տանող օղակի երկարության, որն որոշվում է նրա լրիվ շրջումն ապահովելու պայմանից, մեխանիզմի պարամեարերի ան այտ մեծությունները որոշվում են շրջանագծի աղեղին շարժաթեային կորի տրված հատվածի լավաղույն մոտեցման մեթողով։ Կանգնման անկյան մեծության կարտվիկի պատման կենարոնի տեղափոխությամբ։

## SYNTHESIS OF A SIX-BAR LINKAGE DWELL MECHANISM WITH AN ADJUSTABLE STOP ANGLE

#### R. V. AMBARTSUMIANTS

## Summary

The problem of synthesis of a six-bar linkage dwell mechanism with an adjustable stop angle of a driven crank is solved.

Except the length of the driven link (determined from the condition of presence of a driven crank) the unknown mechanism parameters are found by the method of best approximation of the given coupler curve section to the circumference arc. The specified adjustment range of the stop angle is obtained by displacement of the driven link revolution centre along the circumference arc.

#### ЛИТЕРАТУРА

- 1. Артоболевский И. И., Леонтский Н. И., Черкудинов С. А. Синтоз пласких мехонизмов. Физматсиз, М., 1959.
- Амбардумянц Р. В. Сиптез шестивненного механизма с периодической остановкой недомого кривошина. Республ. межведомет. паучи. тохи. сб. ТММ, № 9, Харьков, 1970.
- Амбарцумяну Р. В. Синтея пятизвенного лубчато-рычажного механизма с периодической остановкой ведомого кривошина. Илв. АН Арм. ССР. Механияв, т. 23. № 3, 1970.
- 4. Левитский Н. И. Сиптев механизмов по Чебышеву. Изд. АН СССР, 1946.